

ОБЪЕДИНЕННЫЙ  
ИНСТИТУТ  
ЯДЕРНЫХ  
ИССЛЕДОВАНИЙ  
ДУБНА

P2-87-89

М.К.Волков, А.И.Иванов\*, М.Надь\*\*

РАСПАДЫ  $a_1 \rightarrow \pi\rho$ ,  $a_1 \rightarrow \pi\gamma$  И  $\pi^- \rightarrow e\bar{\nu}\gamma$   
В КВАРКОВОЙ МОДЕЛИ  
СВЕРХПРОВОДЯЩЕГО ТИПА

Направлено в журнал "Physics Letters B"

---

\* Ленинградский политехнический институт

\*\*Физический институт Словацкой АН,  
Братислава

1987

В последние годы появился целый ряд статей, посвященных теоретическому и экспериментальному изучению процесса  $\bar{K} \rightarrow e\bar{\nu}\gamma$  <sup>/1-6/</sup>. Причиной такого пристального внимания к этому, казалось бы, вполне рядовому распаду явилась не преодоленная до сих пор трудность объяснения в рамках кварковых моделей отличного от единицы отношения аксиального ( $h_A$ ) и векторного ( $h_V$ ) формфакторов указанного процесса. Кварковые модели приводят к равным абсолютным значениям этих формфакторов, в то время как эксперимент дает значение <sup>/4/ 1)</sup>

$$\gamma = h_A / h_V = 0,52 \pm 0,06. \quad (I)$$

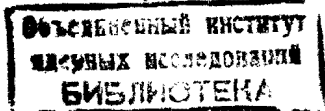
Такое расхождение между теоретическими и экспериментальными результатами привело даже к появлению статьи под названием " $\bar{K} \rightarrow e\bar{\nu}\gamma$  : Вызов кварковой модели?" <sup>/3/</sup>.

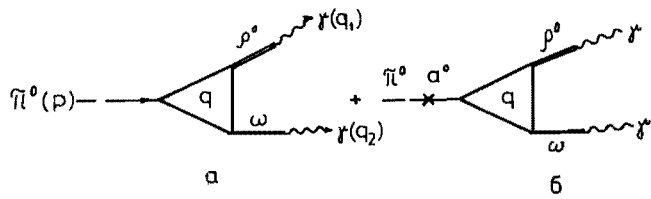
Более десяти лет назад в рамках нелинейного кирального лагранжиана с учетом барионных петель <sup>/8/</sup> одним из авторов этой статьи было получено значение  $\gamma$ , довольно близкое к современным экспериментальным данным ( $\gamma = 0,57$ ). Здесь будет показано, что в кварковой модели сверхпроводящего типа <sup>/9/</sup>, которая во многих своих чертах близка к стандартным кварковым моделям, также можно получить значение  $\gamma < 1$ , если учесть в распаде  $\bar{K} \rightarrow e\bar{\nu}\gamma$  промежуточное состояние с  $\alpha_1$ -мезоном ( $\alpha_1$  ранее обозначалось как  $A_1$ ).

Распад  $\bar{K} \rightarrow e\bar{\nu}\gamma$  тесно связан с распадами  $\bar{K}^0 \rightarrow \pi\pi$  и  $\alpha_1 \rightarrow \pi\pi$  ( $\alpha_1 \rightarrow \pi\rho$ ). Через амплитуду распада  $\bar{K}^0 \rightarrow \pi\pi$  выражается векторный формфактор интересующего нас процесса, а через амплитуду  $\alpha_1 \rightarrow \pi\pi$  - аксиальный формфактор. Поэтому, прежде чем приступить к описанию распада  $\bar{K} \rightarrow e\bar{\nu}\gamma$ , имеет смысл подробно обсудить указанных два процесса.

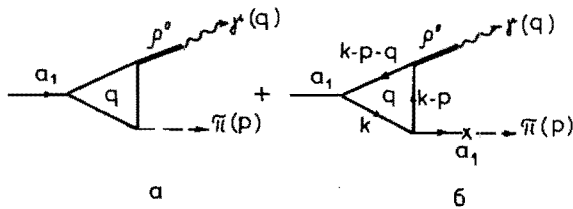
Распад  $\bar{K}^0 \rightarrow \pi\pi$  хорошо изучен в настоящее время. Однако мы подробно обсудим его вместе с распадом  $\alpha_1 \rightarrow \pi\pi$  с точки зрения возможных вкладов в эти процессы от  $\bar{K} \rightarrow \alpha_1$  переходов с промежуточными  $\alpha_1$ -мезонами в пионных концах (рис. 1 и 2).

1) Более ранние эксперименты давали два возможных значения:  $\gamma = 0,44$  или  $\gamma = -2,477$ .





Р и с. 1. Диаграммы, описывающие распад  $\pi^0 \rightarrow \gamma\gamma$ .



Р и с. 2. Диаграммы, описывающие распады  $\alpha_1 \rightarrow \gamma\rho$ ,  $\alpha_1 \rightarrow \gamma\gamma$ .

Общая черта диаграмм  $\pi^0 \rightarrow \alpha_1^0 \rightarrow \gamma\gamma$  и  $\alpha_1 \rightarrow \gamma(\alpha_1 \rightarrow \gamma)$  (рис. 1б и 2б) заключается в том, что они обе обладают сдвиговой неоднозначностью, что требует соблюдения особой аккуратности при их вычислении<sup>10)</sup>. Используя промежуточную регуляризацию, можно получить калибровочно-инвариантный результат, причем оказывается, что в процесс  $\pi^0 \rightarrow \gamma\gamma$   $\pi^0 \rightarrow \alpha_1$  переходы могут дать вклады только на уровне несущественных для нас  $q^4$ -членов, в то время как для распада  $\alpha_1 \rightarrow \gamma\rho$  вклад диаграммы 2б будет более важным, заметно влияющим на амплитуды распадов  $\alpha_1 \rightarrow \gamma\rho$  и  $\alpha_1 \rightarrow \gamma\gamma$  (П/2).

Для описания распадов  $\pi^0 \rightarrow \gamma\gamma$ ,  $\alpha_1 \rightarrow \gamma\rho$  и  $\alpha_1 \rightarrow \gamma\gamma$  нам необходимы следующие лагранжианы<sup>19)</sup>:

$$\mathcal{L} = \bar{q} [ig\gamma_5 \vec{\tau} \vec{\pi} + \frac{g_p}{2} (\vec{\tau} \vec{\rho} + \hat{\omega} + \vec{\tau} \hat{\alpha}_1 \gamma_5)] q + \frac{em_p^2}{g_p} (\rho_m^0 + \frac{\omega_m}{3}) j_e^m \quad (2)$$

<sup>2)</sup> На важность учета  $\pi^0 \rightarrow \alpha_1$  переходов в феноменологических киральных лагранжианах указывалось в работах [12,2]. В рамках нашей модели такие переходы обсуждались в [9,11,13], для нелокальной модели - в [6].

Здесь  $\bar{q} = (\bar{u}, \bar{d})$  - кварковые поля, обладающие тремя цветами ( $N_c = 3$ ),  $\vec{\pi}$ ,  $\vec{\rho}$ ,  $\omega$ ,  $\hat{\alpha}_1$  и  $j_e^m$  - поля пионов,  $\rho$ -,  $\omega$ -,  $\alpha_1$ -мезонов и фотонов соответственно,  $g = m_\pi/F_\pi$ , где  $m_\pi \approx m_\rho = m = 280$  МэВ - массы составляющих  $u$ - и  $d$ -кварков,  $F_\pi = 93$  МэВ - постоянная распада пиона,  $m_\rho$  - масса  $\rho$ -мезона,  $g_p$  - константа распада  $\rho \rightarrow 2\pi$  ( $g_p^2/4\pi \approx 3$ ),  $e$  - электрический заряд.  $\pi^0 \rightarrow \alpha_1$  переходы описываются лагранжианом<sup>19,13)</sup>

$$\Delta \mathcal{L} = \sqrt{6} m \mathcal{Z}^{1/2} \hat{\alpha}_1^M \partial_M \vec{\pi} \quad (3)$$

где  $\mathcal{Z} = (1 - 6m^2/m_{\alpha_1}^2)^{-1} \approx 1,4$  ( $g_p = \sqrt{6} \mathcal{Z}^{1/2} g$ ).

Для диаграммы 1а, используя (2), легко получить известное выражение:

$$T_{\mu\nu}^{(a)} = - \frac{N_c e^2}{12\pi^2 F_\pi} \left(1 + \frac{p^2}{12m^2}\right) \varepsilon_{\mu\nu\alpha\beta} q_1^\alpha q_2^\beta \quad (4)$$

Аналогично для диаграммы 1б имеем

$$\begin{aligned} T_{\mu\nu}^{(b)} &= \frac{6m^2}{m_{\alpha_1}^2} \left[ \frac{N_c e^2}{96\pi^2 F_\pi} \right] \int d^4k Tr \left\{ \hat{\rho} \gamma_5 \frac{1}{m-k+q_2} \gamma_\nu \frac{1}{m-k} \gamma_\mu \frac{1}{m-k-q_1} \right\} + \left( \frac{m_{\mu\nu}}{q_1 \cdot q_2} \right) = \\ &= \frac{6m^2}{m_{\alpha_1}^2} \frac{e^2}{32\pi^2 F_\pi} \mathcal{J}_{\nu\mu}(q_1, q_2). \end{aligned} \quad (5)$$

Здесь  $p$  - импульс пиона,  $q_1$  и  $q_2$  - импульсы фотонов. Чтобы получить калибровочно-инвариантный ответ, используем промежуточную регуляризацию Паули-Вилларса:

$$\begin{aligned} \mathcal{J}_{\nu\mu}^R(q_1, q_2) &= \int d^4k Tr \left\{ \hat{\rho} \gamma_5 \left[ \frac{1}{m-k+q_2} \gamma_\nu \frac{1}{m-k} \gamma_\mu \frac{1}{m-k-q_1} - \frac{1}{M-k+q_2} \gamma_\nu \frac{1}{M-k} \gamma_\mu \frac{1}{M-k-q_1} \right] \right\} + \left( \frac{m_{\mu\nu}}{q_1 \cdot q_2} \right) = \\ &= 2m \int d^4k Tr \left\{ \gamma_5 \frac{1}{m-k+q_2} \gamma_\nu \frac{1}{m-k} \gamma_\mu \frac{1}{m-k-q_1} \right\} - 2M \int d^4k Tr \left\{ \gamma_5 \frac{1}{M-k+q_2} \gamma_\nu \frac{1}{M-k} \gamma_\mu \frac{1}{M-k-q_1} \right\} + \left( \frac{m_{\mu\nu}}{q_1 \cdot q_2} \right). \end{aligned} \quad (6)$$

После вычисления интегралов и снятия регуляризации ( $M \rightarrow \infty$ ) приходим к выражению

$$\mathcal{J}_{\nu\mu}(q_1, q_2) = \frac{2}{3} \pi^2 \frac{p^2}{m^2} \varepsilon_{\mu\nu\alpha\beta} q_1^\alpha q_2^\beta \quad (7)$$

В результате амплитуда  $\pi^0 \rightarrow \gamma\gamma$  принимает вид

$$T_{\mu\nu} = - \frac{e^2}{4\pi F_\pi} \left(1 + \frac{p^2}{12m^2 \mathcal{Z}}\right) \varepsilon_{\mu\nu\alpha\beta} q_1^\alpha q_2^\beta \quad (8)$$

Проведенные вычисления показывают, что учет  $\bar{u} \rightarrow \alpha_1$  переходов не меняет главного члена амплитуды (4), который с хорошей точностью описывает вероятность распада  $\bar{u} \rightarrow \bar{u} \gamma$ .

Обратимся теперь к вычислению распадов  $\alpha_1 \rightarrow \bar{u} \rho$  и  $\alpha_1 \rightarrow \bar{u} \gamma$ . Диаграмма 2а (с  $\rho$ -мезонным концом) приводит к следующей амплитуде распада<sup>3)</sup>:

$$\begin{aligned} \bar{T}_{\mu\nu}^{(a)} &= i g_p^2 g m_4 I_2^\Lambda(m) g^{\mu\nu} + i \frac{g_p^2}{8\pi^2 F_\pi} [\rho^\mu q^\nu - g^{\mu\nu} \rho q + g^{\mu\nu} (\rho^2 + q^2)] = \\ &= i g_p^2 F_\pi Z \{ g^{\mu\nu} + \frac{1}{8\pi^2 F_\pi^2 Z} [\rho^\mu q^\nu - g^{\mu\nu} \rho q + g^{\mu\nu} (\rho^2 + q^2)] \}. \end{aligned} \quad (9)$$

Здесь появляется логарифмически-расходящийся интеграл  $I_2^\Lambda(m)$ , регуляризованный обрезанием  $\Lambda = 1250 \text{ МэВ}^{[9]}$ :

$$I_2^\Lambda(m) = -i \frac{3}{(2\pi)^4} \int \frac{d^4 k \theta(\Lambda^2 - k^2)}{(m^2 - k^2)^2} = \frac{3}{(4\pi)^2} \left[ \ln \left( \frac{\Lambda^2 + 1}{m^2 + 1} \right) - \frac{1}{1 + m^2/\Lambda^2} \right]. \quad (10)$$

Интеграл  $I_2^\Lambda(m)$  и константа  $g$  связаны соотношением<sup>[9]</sup>

$$g^2 = Z/4 I_2^\Lambda(m). \quad (11)$$

Диаграмма 2б содержит петлю с двумя аксиальными и одним векторным мезоном. Эта петля, так же, как и петля диаграммы 1б, обладает сдвиговой неоднозначностью и тоже требует вычисления с использованием промежуточной регуляризации. Покажем, как это делается. Поскольку от  $\bar{u} \rightarrow \alpha_1$  перехода остается импульс  $\rho$ , вычислим интеграл вида

$$\rho^\alpha \bar{T}_{\alpha\mu\nu}^R = \rho^\alpha \int d^4 k \text{Tr} \left\{ \gamma_\mu \gamma^5 \frac{1}{m-k} \gamma_\nu \gamma^5 \frac{1}{m-k+\hat{p}+\hat{q}} \gamma^5 \frac{1}{m-k+\hat{p}} \right\} - (m \leftrightarrow M). \quad (12)$$

Используя соотношение

$$\frac{1}{m-k+\hat{p}} \hat{p} \gamma^5 \frac{1}{m-k} = 2m \frac{1}{m-k+\hat{p}} \gamma^5 \frac{1}{m-k} - \gamma^5 \frac{1}{m-k} - \frac{1}{m-k+\hat{p}} \gamma^5,$$

выражение (12) можно представить в виде

$$\rho^\alpha \bar{T}_{\alpha\mu\nu}^R = 2m \int d^4 k \text{Tr} \left\{ \gamma^5 \frac{1}{m-k} \gamma_\nu \gamma^5 \frac{1}{m-k+\hat{p}+\hat{q}} \gamma^5 \frac{1}{m-k+\hat{p}} \right\} -$$

<sup>3)</sup> Здесь проведено  $q^2$ -разложение кварковой петли.

$$- \int d^4 k \text{Tr} \left\{ \gamma^5 \frac{1}{m-k} \gamma_\nu \gamma^5 \frac{1}{m-k+\hat{p}+\hat{q}} \gamma^5 \frac{1}{m-k+\hat{p}} \gamma^5 \frac{1}{m-k+\hat{p}} \right\} - (m \leftrightarrow M). \quad (13)$$

После вычисления всех интегралов получаем

$$\rho^\alpha \bar{T}_{\alpha\mu\nu}^R = i \left( \frac{8\pi^2}{3} \right)^2 [q^2 g_{\mu\nu} - g^{\mu\nu} \rho q - (\rho+q)^2 g_{\mu\nu} + (\rho+q)_\nu (\rho+q)_\mu] [I_2^\Lambda(m) - I_2^\Lambda(M)]. \quad (14)$$

Снимаем регуляризацию ( $M \rightarrow \infty$ ,  $I_2^\Lambda(M) \rightarrow 0$ ) и оставляя лишь те члены, которые дают отличный от нуля вклад в амплитуду распада  $\alpha_1 \rightarrow \bar{u} \rho$ , получаем

$$\rho^\alpha \bar{T}_{\alpha\mu\nu} = i \left( \frac{8\pi^2}{3} \right)^2 I_2^\Lambda(m) [q^2 - (\rho+q)^2] g_{\mu\nu}. \quad (15)$$

В результате полный вклад от диаграммы 2б будет равен<sup>4)</sup>

$$\bar{T}_{\mu\nu}^{(b)} = -i g_p^2 g m_4 I_2^\Lambda(m) \frac{m_{a_1}^2 - m_\rho^2}{m_{a_1}^2} g_{\mu\nu} = -i g_p^2 F_\pi Z \frac{m_{a_1}^2 - m_\rho^2}{m_{a_1}^2} g_{\mu\nu}. \quad (16)$$

Суммируя (9) и (16), для амплитуды распада  $\alpha_1 \rightarrow \bar{u} \rho$  получаем окончательное выражение<sup>5)</sup>:

$$\bar{T}_{\mu\nu} = i \frac{g_p}{2\pi F_\pi} \left\{ \rho^\mu q^\nu - g^{\mu\nu} \rho q + g^{\mu\nu} \left[ 1 + Z \left( \frac{2\pi F_\pi}{m_{a_1}} \right)^2 \right] q^2 \right\}. \quad (17)$$

Интересно заметить, что формулу (16) для диаграммы 2б можно также вывести, если для вершин  $\rho a_1 a_1$  и  $\bar{u} a_1$  взять выражения из феноменологических лагранжианов, полученных в [10] (см. [116]).

Из (17) легко получить амплитуду, описывающую радиационный распад  $\alpha_1 \rightarrow \bar{u} \gamma$ :

$$\Gamma_{\alpha_1 \rightarrow \bar{u} \gamma}^{\mu\nu} = i \frac{e g_p}{8\pi^2 F_\pi} (\rho^\mu q^\nu - g^{\mu\nu} \rho q). \quad (18)$$

Найденные амплитуды позволяют сделать следующие оценки для ширин соответствующих распадов:

<sup>4)</sup> В работе [9а] применялся другой способ фиксации сдвиговой неоднозначности диаграммы [20]. Описанный здесь метод мы считаем более последовательным и универсальным (он использован также в [116]).

<sup>5)</sup> Здесь отброшен малый член  $g_{\mu\nu} \rho^2$ , содержащийся в (9). Если разложить по  $\rho^2$  кварковую петлю, ответственную за  $\bar{u} \rightarrow \alpha_1$  переход, то этот член сократится.

$$\Gamma_{\alpha_1 \rightarrow \pi \rho} \approx 200 \text{ МэВ}, \quad (19)$$

$$\Gamma_{\alpha_1 \rightarrow \pi \gamma} = 430 \text{ кэВ}, \quad (20)$$

в то время как экспериментальные данные равны<sup>/14/</sup>

$$\Gamma_{\alpha_1 \rightarrow \pi \rho}^{\text{эксп.}} = (316 \pm 45) \text{ МэВ}, \quad \Gamma_{\alpha_1 \rightarrow \pi \gamma}^{\text{эксп.}} = (630 \pm 250 \pm 90) \text{ кэВ}. \quad (21)$$

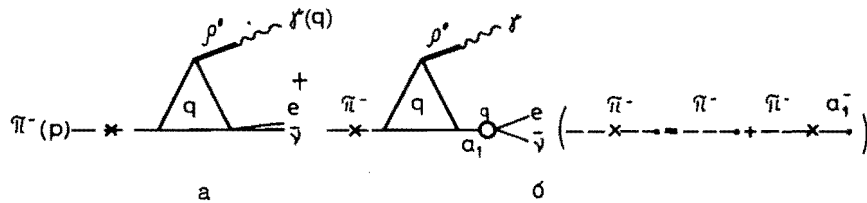
Заметим, что теоретическая оценка ширины  $\alpha_1 \rightarrow \pi \gamma$  сделана с большей точностью, чем  $\alpha_1 \rightarrow \pi \rho$ , поскольку при вычислении последнего процесса происходит сильная компенсация градиентно-инвариантной и  $q^2$ -частей амплитуды (17), так что первые порядки соответствующих вкладов в ширину распада полностью сокращаются. Отметим также, что теоретическая оценка (20) распада  $\alpha_1 \rightarrow \pi \gamma$  была получена нами впервые в работах<sup>/116/, /96/</sup> за год до появления экспериментальных данных<sup>/15/</sup>, которые полностью подтвердили наши предсказания.

Теперь имеются все необходимые компоненты для вычисления амплитуды распада  $\pi^- \rightarrow e \bar{\nu} \gamma$ . Структурная часть этой амплитуды имеет вид

$$T_{(\pi^- \rightarrow e \bar{\nu} \gamma)}^{\text{M}} = \sqrt{2} e [k_V \varepsilon^{\mu\nu\alpha\beta} p_\alpha q_\beta + i k_A (g^{\mu\nu} p q - p^\mu q^\nu)] \ell_\nu^+, \quad (22)$$

где  $\ell_\nu^+ = \frac{G}{\sqrt{2}} \cos \theta \cdot \bar{\nu} \gamma_\nu (1 + \gamma^5) e$  - лептонный ток,  $\theta$  - угол Кабиббо,  $p$  и  $q$  - импульсы пиона и фотона соответственно,  $k_V$  и  $k_A$  - векторные и аксиальные формфакторы,  $G$  - константа Ферми. Из диаграммы 3а, используя вышеприведенные расчеты, легко получить

$$k_V = k_A = 1/8 \pi^2 F_\pi. \quad (23)$$



Р и с. 3. Диаграммы, описывающие распад  $\pi^- \rightarrow e \bar{\nu} \gamma$ . В пионной линии учтена возможность  $\pi^- \rightarrow \alpha_1$  перехода.

Это известный результат, получаемый в кварковых моделях и приводящий к значению  $\gamma = 1$ , противоречащему экспериментальным данным. Учет промежуточного  $\alpha_1$ -мезона на пионной линии не меняет этого результата. Однако существует еще диаграмма 3б с промежуточным  $\alpha_1$ -мезоном между лептонной парой и кварковым треугольником. Ее вклад легко вычислить, если использовать выражение (18) и амплитуду распада  $\alpha_1^- \rightarrow e \bar{\nu}$ , идущего через кварковую петлю:

$$T_{(\alpha_1^- \rightarrow e \bar{\nu})}^{\text{M}} = \frac{g_p}{3\sqrt{2}} \left( 4 I_2^{\text{M}}(m) = \frac{Z}{g^2} \right) [(p-q)^\mu (p-q)^\nu - g^{\mu\nu} (p-q)^2 + 6m^2 g^{\mu\nu}] \ell_\nu^+. \quad (24)$$

В результате вклад диаграммы 3б в амплитуду распада  $\pi^- \rightarrow e \bar{\nu} \gamma$  оказывается равным

$$(\delta) T_{(\pi^- \rightarrow e \bar{\nu} \gamma)}^{\text{M}} = i \frac{\sqrt{2} e}{8\pi^2 F_\pi} \left( -\frac{6m^2}{m_{\alpha_1}^2} \right) (g^{\mu\nu} p q - p^\mu q^\nu) \ell_\nu^+. \quad (25)$$

С учетом диаграммы 3б отношение формфакторов  $k_V$  и  $k_A$  становится меньше единицы:

$$\gamma = k_A/k_V = Z^{-1} = 1 - \frac{6m^2}{m_{\alpha_1}^2} = 0,7, \quad (26)$$

т.е. приближается к экспериментальному значению. В векторном канале можно было бы учесть диаграмму с промежуточным векторным мезоном, но амплитуда, аналогичная (24), не будет там содержать большого константного члена  $6m^2 g^{\mu\nu}$ , и вклад ее будет очень мал.

Полученное нами соотношение  $\gamma = Z^{-1}$  приводит к разным значениям  $\gamma$  в разных моделях. Значение  $\gamma = 0,7$  получено для  $m_u = 280 \text{ МэВ}$ . Это значение  $m_u$  характерно для нашей модели. Если взять более общепринятое значение  $m_u = 310 \text{ МэВ}$ , то получим  $\gamma = 0,65$ . Наконец, если выразить  $6m^2$  через массы мезонов (см.<sup>/19/</sup>):

$$6m_u^2 \approx m_{\alpha_1}^2 - m_\rho^2, \quad (27)$$

то получим для  $Z$  выражение, используемое в феноменологических лагранжианах<sup>/12/</sup>:

$$Z = (m_{\alpha_1}/m_\rho)^2. \quad (28)$$

Тогда величина  $\gamma$  еще более уменьшится:

$$\gamma = 0,37. \quad (29)$$

Приведенные здесь оценки показывают, что соотношение (26) имеет, скорее всего, безмодельный характер и позволяет получить теоретические значения для  $\gamma$ , не противоречащие эксперименту.

В заключение приведем значения формфакторов  $h_V^K$  и  $h_A^K$  для распада  $K^+ \rightarrow e^+ \bar{\nu} \gamma$ :

$$h_V^K = \frac{1}{8\pi^2 F_K} \left[ \frac{1}{2} - \frac{3\lambda}{\lambda^2 - 1} + \frac{\lambda(2\lambda^2 + 1)}{(\lambda^2 - 1)^2} \ln \lambda^2 \right], \quad (30)$$

$$h_A^K = \frac{1}{8\pi^2 F_K Z_K} \left[ -3 + \frac{(2\lambda^2 + 1)}{\lambda^2 - 1} \ln \lambda^2 \right] \frac{1}{\lambda - 1},$$

где

$$F_K = 1,17 F_{\pi}^+, \quad \lambda = m_s/m_u = 1,64.$$

#### ЛИТЕРАТУРА

1. Bryman D.A., Depommier P., Lecroy C. - Phys.Rep., 88 (1982), 151.
2. Holstein B.R. - Phys.Rev., D33 (1986), 3316.
3. Paver N., Scadron M.D. - Nuovo Cim., A78 (1983), 159.
4. Bay A. et al. - Phys.Lett., B174 (1986), 445.
5. Gasser J., Leutwyler H. - Ann.Phys., 158 (1984), 142.
6. Авакян Е.З. и др. - Препринт ОИЯИ P2-86-278, Дубна, 1986.
7. Stetz A. et al. - Nucl.Phys., B138 (1978), 285.
8. Волков М.К., Первушин В.Н. - ЯФ, 22 (1975), 366; Phys.Lett., B58 (1975), 74.
9. Волков М.К. а) ЭЧАЯ, 17 (1986), 433; б) Ann. Phys., 157 (1984), 282.
10. Трейман С., Джекив Р., Гросс Д. Лекции по алгебре токов. Москва, Атомиздат, 1977.
11. Волков М.К., Осипов А.А. - а) ЯФ, 41 (1985), 1027; Сообщение ОИЯИ E2-83-92I, Дубна, 1983.
12. Gasiorowicz S., Geffen D.A. - Rev.Mod.Phys., 41 (1969), 531.
13. Волков М.К., Осипов А.А. - Сообщение ОИЯИ P2-85-390, Дубна, 1985.
14. Particle Data Group. - Phys.Lett., B170 (1986), April.
15. Zielinski M. et al. - Phys.Rev.Lett., 52 (1984), 1195.

Рукопись поступила в издательский отдел  
13 февраля 1987 года.

Волков М.К., Иванов А.И., Надь М. P2-87-89  
Распады  $a_1 \rightarrow \pi\rho$ ,  $a_1 \rightarrow \pi\gamma$  и  $\pi^- \rightarrow e^+ \bar{\nu} \gamma$   
в кварковой модели сверхпроводящего типа

Показано, что в кварковых моделях можно получить не равное единице отношение аксиального и векторного формфакторов для процесса  $\pi^- \rightarrow e^+ \bar{\nu} \gamma$ , если учесть состояние с промежуточным  $a_1$ -мезоном.

Работа выполнена в Лаборатории теоретической физики ОИЯИ.

Препринт Объединенного института ядерных исследований. Дубна 1987

Перевод авторов

Ivanov A.I., Nagy M., Volkov M.K. P2-87-89  
Decays  $a_1 \rightarrow \pi\rho$ ,  $a_1 \rightarrow \pi\gamma$  and  $\pi^- \rightarrow e^+ \bar{\nu} \gamma$  in the  
Quark Model of the Superconductivity Type

It is shown that in quark models it is possible to obtain the  $\gamma = \frac{h_A}{h_V} < 1$  for the decay  $\pi^- \rightarrow e^+ \bar{\nu} \gamma$  if the intermediate  $a_1$  meson is taken into account ( $\gamma = 1 - 6m_u^2/m^2 a_1$ ).

The investigation has been performed at the Laboratory of Theoretical Physics, JINR.

Preprint of the Joint Institute for Nuclear Research. Dubna 1987